

VILLAGE DES SCIENCES DE HYÈRES 2024

DE L'ÉCHELLE MICRO À L'ÉCHELLE MACRO :
COMMENT LES MATHÉMATIQUES PEUVENT AIDER À
DÉCRIRE L'ÉVOLUTION DU TRAIT DE CÔTE

M. ERSOY, C. POUSSEL^b

- 1 POURQUOI S'INTÉRESSER À L'ÉVOLUTION DU TRAIT DE CÔTE ?
- 2 COMMENT LES MATHÉMATIQUES PEUVENT AIDER À COMPRENDRE CE PHÉNOMÈNE ?
- 3 ENCORE DES MATHÉMATIQUES ... MAIS SOUS UNE FORME NUMÉRIQUE
- 4 N PAS VERS LA PRÉVISION D'ÉVÉNEMENTS FUTURS !
- 5 L'INTELLIGENCE ARTIFICIELLE : UN DÉBUT DE LA FIN DE L'INTELLIGENCE OU UNE RÉELLE AVANCÉE SCIENTIFIQUE ?

- 1 POURQUOI S'INTÉRESSER À L'ÉVOLUTION DU TRAIT DE CÔTE ?
- 2 COMMENT LES MATHÉMATIQUES PEUVENT AIDER À COMPRENDRE CE PHÉNOMÈNE ?
- 3 ENCORE DES MATHÉMATIQUES ... MAIS SOUS UNE FORME NUMÉRIQUE
- 4 N PAS VERS LA PRÉVISION D'ÉVÉNEMENTS FUTURS !
- 5 L'INTELLIGENCE ARTIFICIELLE : UN DÉBUT DE LA FIN DE L'INTELLIGENCE OU UNE RÉELLE AVANCÉE SCIENTIFIQUE ?

Contexte général : ing. côtière, dév. durable et **changement climatique**

Application : plage sableuse

→ 1/3 des plages sont sablonneuses et 1/4 s'érodent à des taux de 0,5m/an en raison de l'élévation du niveau de mer

→ impact socio-économique

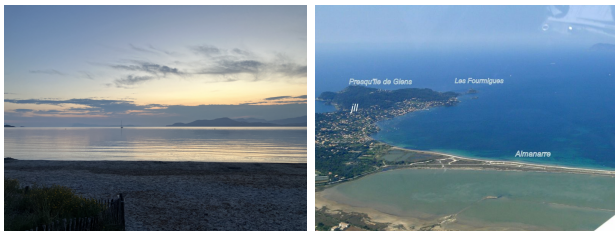


FIGURE – Plage de l'Almanarre, commune de Hyères^a



[A. Lujendijk et al.](#)

[The State of the World's Beaches.](#)
[Nature, Scientific Reports, 2018](#)



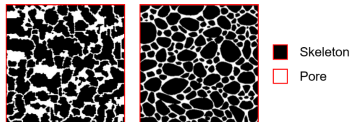
[M. I. Voudoukas et al.](#)

[Sandy coastlines under threat of erosion](#)
[Nature, Climate Change, 2020](#)

Contexte général : ing. côtière, dev. durable et changement climatique

Application : plage sableuse

Un milieu poreux



Grain diameter range	Type name	Common name
> 256 mm	Boulder	Stone
64 mm – 256 mm	Cobble	
4 mm – 64 mm	Pebble	Gravel
2 mm – 4 mm	Granule	
0.5 mm – 2 mm	Coarse sand	Sand
0.25 mm – 0.5 mm	Medium sand	
1/16 mm – 0.25 mm	Fine sand	
1/256 mm – 1/16 mm	Silt	Mud
< 1/256 mm	Clay	

FIGURE – Représentation schématique de deux milieux poreux et granulométrie

Contexte général : ing. côtière, dév. durable et changement climatique

Application : plage sableuse

Un milieu poreux

- **variables** : porosité Φ , tortuosité m , mouillabilité \mathcal{W} , saturation S , perméabilité \mathbf{k} , etc.

Contexte général : ing. côtière, dév. durable et changement climatique

Application : plage sableuse

Un milieu poreux

- variables : porosité Φ , tortuosité m , mouillabilité \mathcal{W} , saturation S , perméabilité \mathbf{k} , etc.
- **forces** : forces intermoléculaires :
force de cohésion – tension
superficielle, force d'adhésion –
capillarité, force gravitationnelle,
force de friction – viscosité, etc.

Contexte général : ing. côtière, dév. durable et changement climatique

Application : plage sableuse

Un milieu poreux

- variables : porosité Φ , tortuosité m , mouillabilité \mathcal{W} , saturation S , perméabilité \mathbf{k} , etc.
- forces : forces intermoléculaires : force de cohésion – tension superficielle, force d'adhésion – capillarité, force gravitationnelle, force de friction – viscosité, etc.
- Différents régimes hydrodynamiques ("petite" échelle)



FIGURE – Représentation schématique de deux milieux poreux

Contexte général : ing. côtière, dev. durable et changement climatique

Application : plage sableuse

Un milieu poreux

- variables : porosité Φ , tortuosité m , mouillabilité \mathcal{W} , saturation S , perméabilité \mathbf{k} , etc.
- forces : forces intermoléculaires : force de cohésion – tension superficielle, force d'adhésion – capillarité, force gravitationnelle, force de friction – viscosité, etc.
- Différents régimes hydrodynamiques ("petite" échelle)
- Régime globale ("grande" échelle)

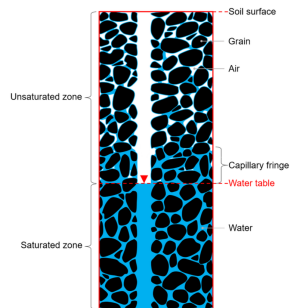


FIGURE – Représentation schématique de deux milieux poreux

Contexte général : ing. côtière, dév. durable et changement climatique

Application : plage sableuse

Un milieu poreux

Problèmes majeurs

- mesures expérimentales = coûteuses et limitées



[D. Sous et al.](#)

Field evidence of swash groundwater circulation in the microtidal roasty beach.

[Advances in Water Resources, 2016](#)

Contexte général : ing. côtière, dév. durable et changement climatique

Application : plage sableuse

Un milieu poreux

Problèmes majeurs

- mesures expérimentales = coûteuses et limitées
- multi-échelle, sensibilité aux paramètres, milieux hétérogènes, échelle très fine non atteignable numériquement
↪ Homogénéisation, REV (Representative Elementary Volume), Stochastique ?



D. Sous [et al.](#)

Field evidence of swash groundwater circulation in the microtidal rocky beach.

[Advances in Water Resources, 2016](#)



G. Allaire

Homogenization and Two-Scale Convergence.

[Journal on Mathematical Analysis, 1992](#)



U. Hornung

Homogenization and Porous Media.
[Springer New York, 1997](#)



S. Whitaker

Flow in porous media I : A theoretical derivation of Darcy's law.

[Transport in Porous Media, 1986](#)



M. Quintard, S. Whitaker

Transport in ordered and disordered porous media I : The cellular average and the use of weighting functions.



[Transport in Porous Media, 1994](#)

G. Dagan

The generalization of Darcy's Law for nonuniform flows.

[Water Resources Research, 1979](#)



D. Zhang

Stochastic Methods for Flow in Porous Media.

[Elsevier, 2002](#)

- 1 POURQUOI S'INTÉRESSER À L'ÉVOLUTION DU TRAIT DE CÔTE ?
- 2 COMMENT LES MATHÉMATIQUES PEUVENT AIDER À COMPRENDRE CE PHÉNOMÈNE ?
- 3 ENCORE DES MATHÉMATIQUES ... MAIS SOUS UNE FORME NUMÉRIQUE
- 4 N PAS VERS LA PRÉVISION D'ÉVÉNEMENTS FUTURS !
- 5 L'INTELLIGENCE ARTIFICIELLE : UN DÉBUT DE LA FIN DE L'INTELLIGENCE OU UNE RÉELLE AVANCÉE SCIENTIFIQUE ?

Principe d'une REV

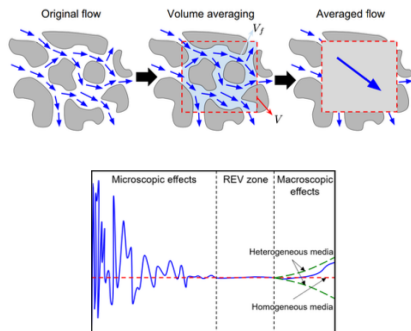


FIGURE – Principe

Principe d'une REV

Loi de Darcy

$$\bar{q} = -\frac{\mathbf{k}}{\mu} \nabla(\bar{p} + \rho g z)$$

où \mathbf{k} est le tenseur de perméabilité.

Sous les hypothèses

- $\partial_t \Phi = 0$
- phase air connectée continûment à l'air à pression atmosphérique
- pression air hydrostatique

Sous les hypothèses

- $\partial_t \Phi = 0$
- phase air connectée continûment à l'air à pression atmosphérique
- pression air hydrostatique

→ **Équation de Richards**

$$\partial_t \theta(h - z) - \nabla \cdot (\mathbb{K}(h - z) \nabla h) = 0$$

- $h = \frac{p}{\rho g}$ (charge hydraulique),
- $S = P_c(p) = P_c(\rho g h)$ (relation de rétention d'eau)
- $\mathbb{K}(S) = \frac{\rho g}{\mu} \mathbf{k}(S)$ (tenseur de perméabilité)
- $\theta(S) = \Phi S$ (teneur en eau)

Sous les hypothèses

- $\partial_t \Phi = 0$
- phase air connectée continûment à l'air à pression atmosphérique
- pression air hydrostatique

→ Équation de Richards

$$\partial_t \theta(h - z) - \nabla \cdot (\mathbb{K}(h - z) \nabla h) = 0$$

Propriété hydraulique (fermeture)

$\mathbb{K} = \mathbb{K}_s K_r$ où \mathbb{K}_s est le tenseur de conductivité hydraulique saturé et K_r relatif

où $\psi = h - z$, $K_r(\psi) = \begin{cases} 1 & \text{si } \psi \geq 0 \\ K_{\text{loi}} & \text{si } \psi < 0 \end{cases}$ et $S_e(\psi) = \begin{cases} 1 & \text{si } \psi \geq 0 \\ S_{\text{loi}} & \text{si } \psi < 0 \end{cases}$

Name	Expression	Parameters
Gardner-Irmy relations (1958) [68, 69]	$S_e = e^{\frac{\alpha \psi}{m}}$ $K_r = e^{\alpha \psi}$	α : pore-size distribution [-] m : tortuosity [-]
Vachaud's relations (1971) [70]	$S_e = \frac{C}{C + \psi ^D}$ $K_r = \frac{A}{A + \psi ^B}$	A, C : empirical shape parameters [$L^{B/D}$] B, D : empirical shape parameters [-]

Sous les hypothèses

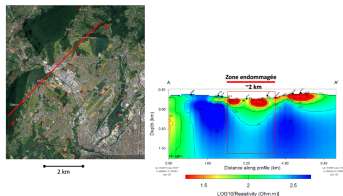
- $\partial_t \Phi = 0$
- phase air connectée continûment à l'air à pression atmosphérique
- pression air hydrostatique

→ Équation de Richards

$$\partial_t \theta(h - z) - \nabla \cdot (\mathbb{K}(h - z) \nabla h) = 0$$

Propriété hydraulique (fermeture)

Aparté séisme : loi de comportement et interaction fondamentale



Sous les hypothèses

- $\partial_t \Phi = 0$
- phase air connectée continûment à l'air à pression atmosphérique
- pression air hydrostatique

→ Équation de Richards

$$\partial_t \theta(h - z) - \nabla \cdot (\mathbb{K}(h - z) \nabla h) = 0$$

Propriété hydraulique (fermeture)

Challenges

- Problème fortement non-linéaire parabolique dégénérée
- Échelle de temps lente + régimes $\psi \geq 0$, $\psi \ll 0$, $\psi \rightarrow 0^-$ complexes
- Convergence très lente et calibrage des méthodes numériques nécessaires!!!

- 1 POURQUOI S'INTÉRESSER À L'ÉVOLUTION DU TRAIT DE CÔTE ?
- 2 COMMENT LES MATHÉMATIQUES PEUVENT AIDER À COMPRENDRE CE PHÉNOMÈNE ?
- 3 ENCORE DES MATHÉMATIQUES ... MAIS SOUS UNE FORME NUMÉRIQUE
- 4 N PAS VERS LA PRÉVISION D'ÉVÉNEMENTS FUTURS !
- 5 L'INTELLIGENCE ARTIFICIELLE : UN DÉBUT DE LA FIN DE L'INTELLIGENCE OU UNE RÉELLE AVANCÉE SCIENTIFIQUE ?

Generic non-linear problem

For a given f in $L^2(\Omega)$, find $u : \Omega \rightarrow \mathbb{R}$ such that

$$(\mathcal{P}) \begin{cases} -(K(x, u)u')' = f, & \text{in } \Omega \\ u = 0, & \text{on } \partial\Omega \end{cases}$$

assuming that

$$(\mathcal{H}) : \quad 0 < K_0 \leq K(x, u) \leq K_1, \quad \forall x \in \Omega, \forall u \in L^2(\Omega)$$

Generic non-linear problem

For a given f in $L^2(\Omega)$, find $u : \Omega \rightarrow \mathbb{R}$ such that

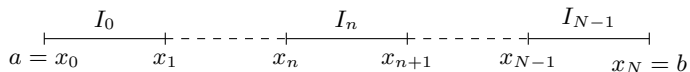
$$(\mathcal{P}) \begin{cases} -(K(x, u)u')' = f, & \text{in } \Omega \\ u = 0, & \text{on } \partial\Omega \end{cases}$$

assuming that

$$(\mathcal{H}) : \quad 0 < K_0 \leq K(x, u) \leq K_1, \quad \forall x \in \Omega, \forall u \in L^2(\Omega)$$

Objectives : Construction of a cv parameterless numerical scheme

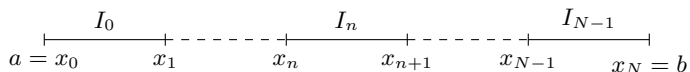
Let $a = x_0 < \dots < x_N = b$ be a mesh \mathcal{E}_h of $\Omega = [a, b]$ and denote $I_n = (x_n, x_{n+1})$ a cell :



We define :

$$|I_n| = h = \frac{b - a}{N}, \quad \forall n \in \{0, \dots, N - 1\}.$$

Let $a = x_0 < \dots < x_N = b$ be a mesh \mathcal{E}_h of $\Omega = [a, b]$ and denote $I_n = (x_n, x_{n+1})$ a cell :

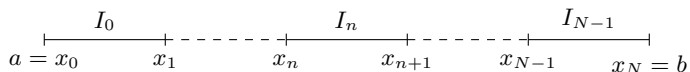


Let us define the finite element subspace :

$$V_h^p = \{v \in L^2(\Omega) \mid \forall I_n \in \mathcal{E}_h, v|_{I_n} \in \mathbb{P}_p(I_n)\}$$

the set of piecewise polynomials functions

Let $a = x_0 < \dots < x_N = b$ be a mesh \mathcal{E}_h of $\Omega = [a, b]$ and denote $I_n = (x_n, x_{n+1})$ a cell :



Let us define the finite element subspace :

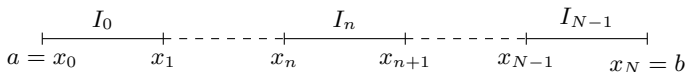
$$V_h^p = \{v \in L^2(\Omega) \mid \forall I_n \in \mathcal{E}_h, v|_{I_n} \in \mathbb{P}_p(I_n)\}$$

the set of piecewise polynomials functions

\Rightarrow Basis function are not continuous contrary to FEM methods

$\Rightarrow v \in V_h^p$ not necessarily continuous on x_n

Let $a = x_0 < \dots < x_N = b$ be a mesh \mathcal{E}_h of $\Omega = [a, b]$ and denote $I_n = (x_n, x_{n+1})$ a cell :



Let us define the finite element subspace :

$$V_h^p = \{v \in L^2(\Omega) \mid \forall I_n \in \mathcal{E}_h, v|_{I_n} \in \mathbb{P}_p(I_n)\}$$

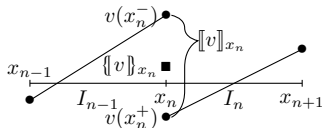
the set of piecewise polynomials functions

⇒ Basis functions are not continuous contrary to FEM methods

⇒ $v \in V_h^p$ not necessarily continuous on x_n

Define the jump and the average at x_n :

$$[[v]]_{x_n} = v(x_n^-) - v(x_n^+), \quad \{v\}_{x_n} = \frac{1}{2} (v(x_n^-) + v(x_n^+))$$



- Incomplete Interior Penalty Galerkin (IIPG) method introduced by Dawson, Sun and Wheeler.

Rearrange the Discontinuous Galerkin formulation, assuming that

$$\llbracket K(x, \bar{u})u'_h \rrbracket_{x_n} = 0 :$$



[C. Dawson et al.](#)

Compatible algorithms for coupled flow and transport.

Computer Methods in Applied Mechanics and Engineering, 2004

- Incomplete Interior Penalty Galerkin (IIPG) method introduced by Dawson, Sun and Wheeler.

Rearrange the Discontinuous Galerkin formulation, assuming that

$$\llbracket K(x, \bar{u})u'_h \rrbracket_{x_n} = 0 :$$

$$\tilde{a}_h(u_h, v_h) = \sum_{n=0}^{N-1} \int_{I_n} K(x, \bar{u})u'_h v'_h dx - \sum_{n=0}^{N-1} \left[K(x, \bar{u})u'_h v_h \right]_{x_n^+}^{x_{n+1}^-}$$

- Incomplete Interior Penalty Galerkin (IIPG) method introduced by Dawson, Sun and Wheeler.

Rearrange the Discontinuous Galerkin formulation, assuming that

$$\llbracket K(x, \bar{u})u'_h \rrbracket_{x_n} = 0 :$$

$$\tilde{a}_h(u_h, v_h) = \sum_{n=0}^{N-1} \int_{I_n} K(x, \bar{u})u'_h v'_h dx - \sum_{n=0}^N \llbracket K(x, \bar{u})u'_h v_h \rrbracket_{x_n}$$

$$\text{with } \llbracket ab \rrbracket = \llbracket a \rrbracket \{b\} + \{a\} \llbracket b \rrbracket$$

- Incomplete Interior Penalty Galerkin (IIPG) method introduced by Dawson, Sun and Wheeler.

Rearrange the Discontinuous Galerkin formulation, assuming that

$$\llbracket K(x, \bar{u})u'_h \rrbracket_{x_n} = 0 :$$

$$\tilde{a}_h(u_h, v_h) = \sum_{n=0}^{N-1} \int_{I_n} K(x, \bar{u})u'_h v'_h dx - \sum_{n=0}^N \{ \llbracket K(x, \bar{u})u'_h \rrbracket_{x_n} \} \llbracket v_h \rrbracket_{x_n}$$

$$\text{with } \llbracket ab \rrbracket = \llbracket a \rrbracket \{ b \} + \{ a \} \llbracket b \rrbracket$$

- Incomplete Interior Penalty Galerkin (IIPG) method introduced by Dawson, Sun and Wheeler.

Rearrange the Discontinuous Galerkin formulation, assuming that

$\llbracket K(x, \bar{u})u'_h \rrbracket_{x_n} = 0$ and with penalization parameters σ_n :

$$\begin{aligned} \tilde{a}_h(u_h, v_h) &= \sum_{n=0}^{N-1} \int_{I_n} K(x, \bar{u})u'_h v'_h dx - \sum_{n=0}^N \llbracket K(x, \bar{u})u'_h \rrbracket_{x_n} \llbracket v_h \rrbracket_{x_n} \\ &+ \sum_{n=1}^{N-1} \frac{\sigma_{n-1} + \sigma_n}{2h} \llbracket u_h \rrbracket_{x_n} \llbracket v_h \rrbracket_{x_n} \end{aligned}$$

- Incomplete Interior Penalty Galerkin (IIPG) method introduced by Dawson, Sun and Wheeler.

Rearrange the Discontinuous Galerkin formulation, assuming that

$\llbracket K(x, \bar{u})u'_h \rrbracket_{x_n} = 0$ and with penalization parameters σ_n :

$$\begin{aligned} \tilde{a}_h(u_h, v_h) &= \sum_{n=0}^{N-1} \int_{I_n} K(x, \bar{u})u'_h v'_h dx - \sum_{n=0}^N \llbracket K(x, \bar{u})u'_h \rrbracket_{x_n} \llbracket v_h \rrbracket_{x_n} \\ &+ \sum_{n=1}^{N-1} \frac{\sigma_{n-1} + \sigma_n}{2h} \llbracket u_h \rrbracket_{x_n} \llbracket v_h \rrbracket_{x_n} \\ &+ \frac{\sigma_0}{h} \llbracket u_h \rrbracket_{x_0} \llbracket v_h \rrbracket_{x_0} + \frac{\sigma_N}{h} \llbracket u_h \rrbracket_{x_N} \llbracket v_h \rrbracket_{x_N} \end{aligned}$$

- Incomplete Interior Penalty Galerkin (IIPG) method introduced by Dawson, Sun and Wheeler.

Rearrange the Discontinuous Galerkin formulation, assuming that

$\llbracket K(x, \bar{u})u'_h \rrbracket_{x_n} = 0$ and with penalization parameters σ_n :

$$\begin{aligned} \tilde{a}_h(u_h, v_h) &= \sum_{n=0}^{N-1} \int_{I_n} K(x, \bar{u})u'_h v'_h dx - \sum_{n=0}^N \llbracket K(x, \bar{u})u'_h \rrbracket_{x_n} \llbracket v_h \rrbracket_{x_n} \\ &+ \sum_{n=1}^{N-1} \frac{\sigma_{n-1} + \sigma_n}{2h} \llbracket u_h \rrbracket_{x_n} \llbracket v_h \rrbracket_{x_n} \\ &+ \frac{\sigma_0}{h} \llbracket u_h \rrbracket_{x_0} \llbracket v_h \rrbracket_{x_0} + \frac{\sigma_N}{h} \llbracket u_h \rrbracket_{x_N} \llbracket v_h \rrbracket_{x_N} \end{aligned}$$

and

$$l_h(v_h) = \int_{\Omega} f v_h dx$$

THEOREM (M.E., C. POUSSEL)

Let $p \geq 1$, u_h be a sequence of approximate solutions generated by solving the discrete linearized problem $(\tilde{\mathcal{V}}_h)$ with penalty parameters ensuring coercivity. Then as $h \rightarrow 0$

$$u_h \longrightarrow u \text{ strongly in } L^2(\Omega)$$

$$u'_h \longrightarrow u' \text{ strongly in } L^2(\Omega)$$

$$|u_h|_J \rightarrow 0$$

where $u \in H_0^1(\Omega)$ is the unique solution of the problem (\mathcal{V}) .



D.A. Di Pietro and A. Ern

Mathematical Aspects of Discontinuous Galerkin Methods.
Springer-Verlag, 2011

- lower bounds for penalization parameters

$$\left\{ \begin{array}{l} \forall n, \varepsilon^{(n)} < 2, \sigma_n = \alpha \sigma_n^* \\ \text{with } \alpha > 1 \end{array} \right. \quad \text{with} \quad \left\{ \begin{array}{l} \forall n \in \{1, \dots, N-1\}, \\ \sigma_n^* = \frac{(K_1^{(n)} C_{tr})^2}{2\varepsilon^{(n)} K_0^{(n)}}; \\ \sigma_0^* = \frac{(K_1^{(0)} C_{tr})^2}{\varepsilon^{(0)} K_0^{(0)}}; \\ \sigma_N^* = \frac{(K_1^{(N-1)} C_{tr})^2}{\varepsilon^{(N-1)} K_0^{(N-1)}}. \end{array} \right.$$



T. Epshteyn and B. Riviere

Journal of Computational and Applied Mathematics.

Estimation of penalty parameters for symmetric interior penalty Galerkin methods, 2007

- lower bounds for penalization parameters

$$\left\{ \begin{array}{l} \forall n, \varepsilon^{(n)} < 2, \sigma_n = \alpha \sigma_n^* \\ \text{with } \alpha > 1 \end{array} \right. \quad \text{with} \quad \left\{ \begin{array}{l} \forall n \in \{1, \dots, N-1\}, \\ \sigma_n^* = \frac{(K_1^{(n)} C_{tr})^2}{2\varepsilon^{(n)} K_0^{(n)}}; \\ \sigma_0^* = \frac{(K_1^{(0)} C_{tr})^2}{\varepsilon^{(0)} K_0^{(0)}}; \\ \sigma_N^* = \frac{(K_1^{(N-1)} C_{tr})^2}{\varepsilon^{(N-1)} K_0^{(N-1)}}. \end{array} \right.$$

- But! can't consider σ_n as big as possible
 ⇒ Projection matrix condition number link to σ_n !!!

- lower bounds for penalization parameters

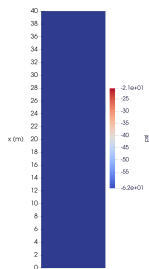
$$\left\{ \begin{array}{l} \forall n, \varepsilon^{(n)} < 2, \sigma_n = \alpha \sigma_n^* \\ \text{with } \alpha > 1 \end{array} \right. \quad \text{with} \quad \left\{ \begin{array}{l} \forall n \in \{1, \dots, N-1\}, \\ \sigma_n^* = \frac{(K_1^{(n)} C_{tr})^2}{2\varepsilon^{(n)} K_0^{(n)}}; \\ \sigma_0^* = \frac{(K_1^{(0)} C_{tr})^2}{\varepsilon^{(0)} K_0^{(0)}}; \\ \sigma_N^* = \frac{(K_1^{(N-1)} C_{tr})^2}{\varepsilon^{(N-1)} K_0^{(N-1)}}. \end{array} \right.$$

- But! can't consider σ_n as big as possible
 - ⇒ Projection matrix condition number link to σ_n !!!
- α and ε must be selected **properly** !
 - ⇒ based on C ea's lemma

- 1 POURQUOI S'INTÉRESSER À L'ÉVOLUTION DU TRAIT DE CÔTE ?
- 2 COMMENT LES MATHÉMATIQUES PEUVENT AIDER À COMPRENDRE CE PHÉNOMÈNE ?
- 3 ENCORE DES MATHÉMATIQUES ... MAIS SOUS UNE FORME NUMÉRIQUE
- 4 N PAS VERS LA PRÉVISION D'ÉVÉNEMENTS FUTURS !
- 5 L'INTELLIGENCE ARTIFICIELLE : UN DÉBUT DE LA FIN DE L'INTELLIGENCE OU UNE RÉELLE AVANCÉE SCIENTIFIQUE ?

NUMERICAL RESULTS : HAVERKAMP'S TEST CASE

- Problem based on physical experiment
- Infiltration in soil
- Modeled by Richards' equation using Vachaud's relations



[Haverkamp et al.](#)

A Comparison of Numerical Simulation Models For One-Dimensional Infiltration.
[Soil Science Society of America Journal, 1977](#)



[G. Vachaud and J-L. Thony](#)

Hysteresis During Infiltration and Redistribution in a Soil Column at Different Initial Water Contents.
[Water Resources Research, 1971](#)

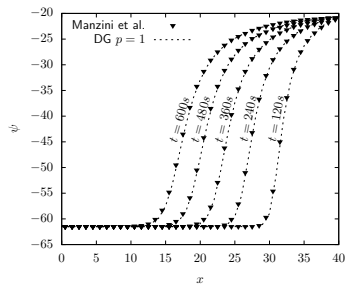


FIGURE – Code to code comparison

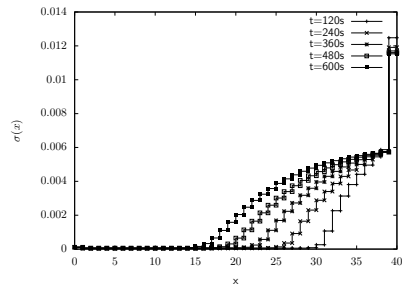


FIGURE – Penalization parameters



G. Manzini and S. Ferraris

Mass-conservative finite volume methods on 2-D unstructured grids for the Richards' equation.

[Advances in Water Resources, 2004](#)

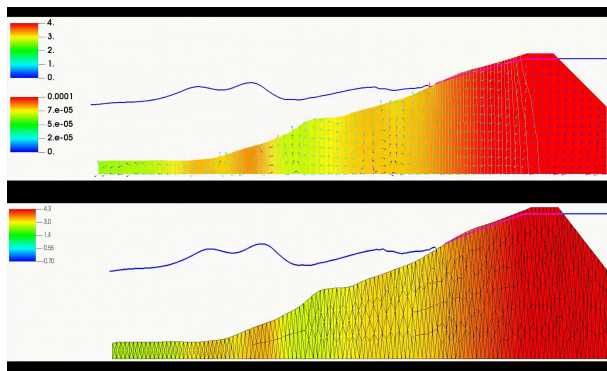


FIGURE – Cas test BARDEX, Delta Flume, Hollande



[Ersoy et al.](#)

A Saint-Venant Model for Overland Flows with Precipitation and Recharge.

[Mathematical and computational applications, 2020](#)



[Ersoy et al.](#)

A Richards' equation-based model for wave-resolving simulation of variably-saturated beach groundwater flow dynamics.

[Journal of Hydrology, 2023](#)

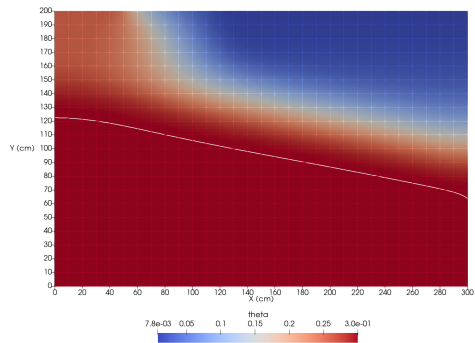
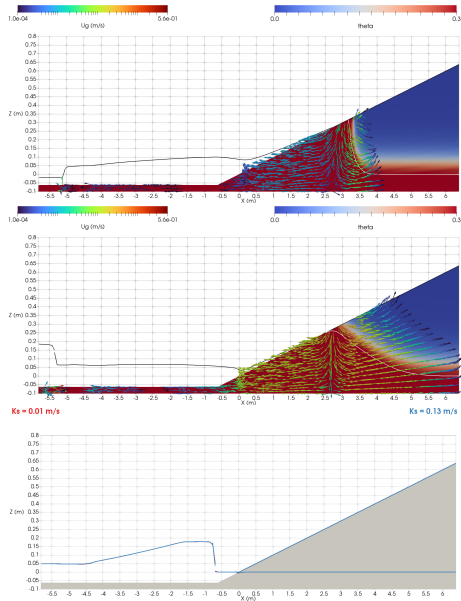


FIGURE – Cas test de Vauclin



- 1 POURQUOI S'INTÉRESSER À L'ÉVOLUTION DU TRAIT DE CÔTE ?
- 2 COMMENT LES MATHÉMATIQUES PEUVENT AIDER À COMPRENDRE CE PHÉNOMÈNE ?
- 3 ENCORE DES MATHÉMATIQUES ... MAIS SOUS UNE FORME NUMÉRIQUE
- 4 N PAS VERS LA PRÉVISION D'ÉVÉNEMENTS FUTURS !
- 5 L'INTELLIGENCE ARTIFICIELLE : UN DÉBUT DE LA FIN DE L'INTELLIGENCE OU UNE RÉELLE AVANCÉE SCIENTIFIQUE ?

- Code numérique : temps cpu très long → simulation en temps réel impossible !

OUTILS DE SIMULATION EN TEMPS RÉEL ?

- Code numérique : temps cpu très long → simulation en temps réel impossible !
- Solution ? AP ?

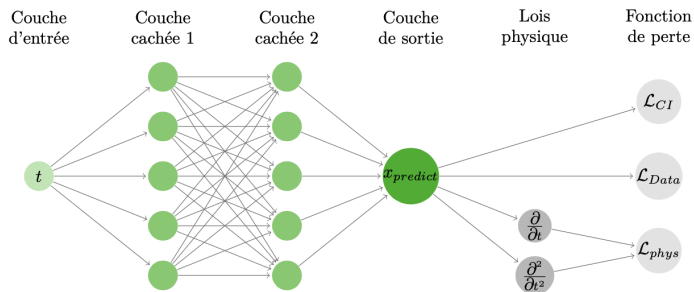


FIGURE – Architecture d'un réseau PINN

- Code numérique : temps cpu très long → simulation en temps réel impossible !
- Solution ? AP ?
- Un exemple très simple : $x(0) = x_0 = 1$, $x'(t) = -x(t)$, base d'entraînements 10 points réparties sur $[0, 0.4]$ et $T_f = 1$

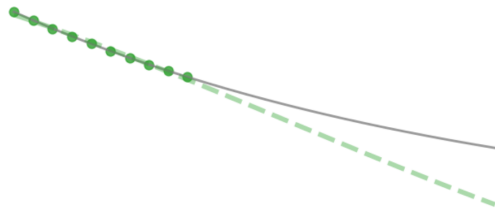


FIGURE – Prédiction via un réseau DNN (3 couches cachées, 32 neurones/couches, 1000 entraînements)

- Code numérique : temps cpu très long \rightarrow simulation en temps réel impossible !
- Solution ? AP ?
- Un exemple très simple : $x(0) = x_0 = 1$, $x'(t) = -x(t)$, base d'entraînements 10 points réparties sur $[0, 0.4]$ et $T_f = 1$

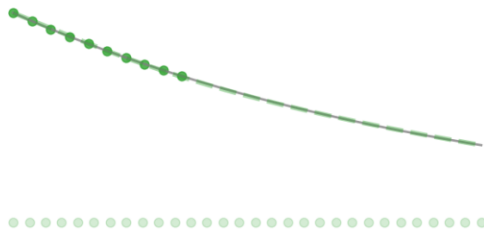


FIGURE – Prédiction via un réseau PINN (3 couches cachées, 1000 entraînements)

FIN

EIN